

УДК 536.3

## ВЛИЯНИЕ ХИМИЧЕСКИХ РЕАКЦИЙ НА ХАРАКТЕРИСТИКИ СМЕШАННО-КОНВЕКЦИОННОГО ПОТОКА ЖИДКОСТИ ВБЛИЗИ ВЕРТИКАЛЬНО РАСТЯГИВАЕМОЙ ПЛАСТИНЫ ПРИ НАЛИЧИИ НЕОДНОРОДНОГО МАССООБМЕНА

Н. Самукта, Р. Равиндран, М. Ганапатирао\*

Национальный технологический институт, 620015 Тируччираппалли, Индия

\* Национальный институт информационных технологий, 301705 Нимрана, Индия

E-mails: samyupsgk@gmail.com, G.Maradana@niituniversity.in

Проведено исследование влияния химической реакции, выделения и поглощения тепла на характеристики стационарного смешанно-конвекционного потока в пограничном слое на вертикально растягиваемой пластине при наличии неравномерного вдува (отсоса) через щелевое отверстие. С помощью группы неавтономных преобразований исходные уравнения для пограничного слоя с граничными условиями преобразованы к безразмерному виду. В результате численного решения системы нелинейных дифференциальных уравнений с частными производными получены неавтономные решения. Проведены расчеты скорости, температуры и концентрации, локального коэффициента трения поверхности, локального числа Нуссельта и числа Шервуда при различных значениях безразмерных параметров. Показано, что при неравномерном отсосе через щелевое отверстие локальные числа Нуссельта и Шервуда увеличиваются, а при неравномерном вдуве через щелевое отверстие — уменьшаются. Установлено, что при выделении тепла локальное число Нуссельта уменьшается, в то время как при его поглощении — увеличивается.

**Ключевые слова:** неравномерный массообмен через щелевое отверстие, смешанно-конвекционный поток, растягиваемая пластина, химическая реакция, выделение тепла.

DOI: 10.15372/PMTF20170113

**Введение.** Процессы, происходящие в пограничном слое на непрерывно движущихся поверхностях, применяются в обрабатывающей промышленности и различных технологических процессах (производство стекловолокна, волочение проволоки, производство бумаги, лужение медных проводов, производство коаксиальных кабелей телевидения, металло- и полимерообработывающее производство и т. д.).

Впервые течение в пограничном слое на непрерывно движущейся поверхности исследовано в работе [1]. В [2] экспериментально показано, что такой поток существует, и изучены его основные характеристики. В работе [3], являющейся продолжением [1], учитывались вдув или отсос на поверхности пластины. В [4] исследовалось обтекание растягиваемой пластины при постоянной температуре. В [5] проведен анализ задачи о течении на растягиваемой пластине при постоянной температуре на поверхности при наличии вдува (отсоса), а в [6] изучено течение при постоянной скорости растяжения поверхно-

сти и температуре, меняющейся по степенному закону. В [7] рассмотрен случай течения на неизометрично растягиваемой пластине. Характеристики теплопереноса на пластине, растягиваемой по линейному закону, при температуре, меняющейся по степенному закону, исследованы в [8]. В [9] получено автомодельное решение для растягиваемой пластины в случае, когда скорость и температура поверхности изменяются по степенному закону. В [10] исследовано влияние сил плавучести на характеристики потока и перенос тепла от наклонной пластины с равномерно распределенной на стенке температурой либо при наличии равномерного потока тепла вдоль поверхности. В работах [11, 12] изучен ламинарный пограничный слой на движущейся параллельно потоку поверхности при  $U_w > U_\infty$  или  $U_w < U_\infty$  и сформулированы две краевые задачи, в [13] сформулирована краевая задача, описывающая оба случая. Поток на растягиваемой пластине изучен в работе [14] с использованием компоненты скорости  $U(x) = U_w(x)$ . Автомодельное решение задачи для скорости в ламинарном пограничном слое, образующемся при растяжении поверхности, получено в [15] с использованием представления для скорости в виде  $U = U_w + U_\infty$ . Во всех указанных выше работах найдены автомодельные решения. В работе [16] получено неавтомодельное решение для смешанно-конвекционного течения на движущейся вертикально растягиваемой пластине при наличии параллельно набегающего потока. В [17] с учетом неравномерного распределения температуры на стенке и концентрации исследовано течение при наличии равномерного вдува (отсоса).

Вдув (отсос) (через щелевое отверстие в стенке) в пограничном слое используется для тепловой защиты, стабилизации пограничных слоев при неблагоприятных градиентах давления, уменьшения поверхностного трения высокоскоростных летательных аппаратов и т. д. Конечные разрывы в течении возникают на передней и задней кромках при равномерном вдуве (отсосе) через щелевое отверстие, и их появления можно избежать, выбрав соответствующий режим неравномерного вдува (отсоса) через щелевое отверстие. Неравномерный вдув (отсос) через щелевое отверстие в смешанно-конвекционный поток в пограничном слое, обтекающий вертикальный конус, изучался в работе [18]. Существуют процессы переноса, зависящие от тепловой и массовой диффузии, возникающей при наличии химической реакции (сушка в химической и пищевой промышленности, испарение на поверхности водоема, замерзание сельскохозяйственных культур, перенос энергии в градирне, течения в кондиционерах испарительного типа и др.) Влияние химических реакций и выделения (поглощения) тепла на смешанно-конвекционный поток, обтекающий вертикальный клин или конус, при наличии неравномерного вдува (отсоса) через щелевое отверстие изучалось соответственно в работах [19, 20].

В данной работе исследуется влияние химической реакции, выделения или поглощения тепла в смешанно-конвекционном потоке в пограничном слое на вертикально растягиваемой пластине при наличии неоднородного вдува (отсоса) через щелевое отверстие.

**1. Математическая постановка задачи.** Рассмотрим стационарный смешанно-конвекционный двумерный ламинарный поток жидкости в пограничном слое, направленный вдоль вертикально растягиваемой пластины, которая движется вверх. Ось  $x$  направлена вдоль пластины, ось  $y$  — перпендикулярно ей [17]. Предполагается, что скорость свободного потока  $U_\infty$  и скорость пластины  $U_w$  одинаково направлены, растягиваемая поверхность движется со скоростью, подчиняющейся степенному закону  $U_w(x) = U_{w0}x^m$  ( $m$  — степенной параметр скорости), и имеет температуру, удовлетворяющую степенному закону  $T_w(x) = T_\infty + Bx^n$  ( $T_\infty$  — равномерно распределенная температура окружающей среды;  $B$  — константа), и концентрацию на стенке, подчиняющуюся степенному закону  $C_w(x) = C_\infty + B^*x^n$  ( $C_\infty$  — равномерная концентрация окружающей среды;  $B^*$  — постоянная;  $n$  — степенной параметр температуры и концентрации). Предполагается также, что на поверхности пластины поддерживаются переменные температура  $T_w$  и концентра-

ция  $C_w$ , при этом значения  $B > 0$  ( $T_w > T_\infty$ ) соответствуют нагретой пластине (“способствующий” поток),  $B < 0$  ( $T_w < T_\infty$ ) — охлажденной пластине (“препятствующий” поток) и  $B^* > 0$  ( $C_w > C_\infty$ ). Сила плавучести возникает вследствие разности температур и концентраций в жидкости. Концентрация диффундирующих соединений полагается пренебрежимо малой по сравнению с концентрацией химических соединений, находящихся вдали от поверхности пластины. Следовательно, можно пренебречь эффектами Соре и Дюфура. Для комбинированной задачи тепло- и массообмена используется приближение Буссинеска [21]. При этих предположениях уравнения сохранения массы, импульса, энергии и концентрации задаются следующим образом:

$$\frac{\partial u}{\partial x} + \frac{\partial v}{\partial y} = 0; \quad (1)$$

$$u \frac{\partial u}{\partial x} + v \frac{\partial u}{\partial y} = U_e \frac{\partial U_e}{\partial x} + \nu \frac{\partial^2 u}{\partial y^2} + g[\beta(T - T_\infty) + \beta^*(C - C_\infty)],$$

$$u \frac{\partial T}{\partial x} + v \frac{\partial T}{\partial y} = \frac{\nu}{\text{Pr}} \frac{\partial^2 T}{\partial y^2} + \frac{Q_0}{\rho c_p} (T - T_\infty), \quad (2)$$

$$u \frac{\partial C}{\partial x} + v \frac{\partial C}{\partial y} = \frac{\nu}{\text{Sc}} \frac{\partial^2 C}{\partial y^2} - k_1(C - C_\infty),$$

граничные условия для уравнений задачи имеют вид

$$y = 0: \quad u(x, 0) = U_w(x), \quad v(x, 0) = v_w(x), \quad T = T_w(x), \quad C = C_w(x),$$

$$y \rightarrow \infty: \quad u(x, \infty) \rightarrow U_\infty(x), \quad T \rightarrow T_\infty, \quad C \rightarrow C_\infty.$$

Здесь  $u, v$  — компоненты вектора скорости в направлениях осей  $x$  и  $y$ ;  $U_e$  — скорость на границе пограничного слоя;  $c_p$  — удельная теплоемкость при постоянном давлении;  $C$  — концентрация вещества;  $C_w(x)$  — концентрация вещества на стенке;  $T$  — температура жидкости;  $T_w(x)$  — температура жидкости на стенке;  $g$  — ускорение свободного падения;  $k_1$  — скорость химической реакции;  $\text{Pr}$  — число Прандтля;  $Q_0$  — коэффициент выделения тепла;  $\text{Sc}$  — число Шмидта;  $\nu$  — кинематическая вязкость;  $\rho$  — плотность жидкости;  $\beta, \beta^*$  — температурный и концентрационный коэффициенты объемного расширения соответственно. Скорости растягиваемой пластины  $U_w$  и свободного потока  $U_\infty$ , температура стенки  $T_w$  и концентрация жидкости на стенке  $C_w$  задаются следующим образом:

$$U_w(x) = U_{w0}x^m, \quad U_\infty(x) = U_{\infty 0}x^m, \quad T_w(x) = T_\infty + Bx^n, \quad C_w(x) = C_\infty + B^*x^n.$$

Скорость потока определяется по формуле

$$U(x) = U_w(x) + U_\infty(x) = U_0x^m,$$

где  $U_0 = U_{w0} + U_{\infty 0} \neq 0$ . С использованием преобразований

$$\eta = y \left( \frac{U(x)}{\nu x} \right)^{1/2}, \quad \xi = \left( \frac{U(x)x}{\nu} \right)^{1/2},$$

$$\psi(x, y) = (\nu x U(x))^{1/2} f(\xi, \eta), \quad u = \frac{\partial \psi}{\partial y}, \quad v = -\frac{\partial \psi}{\partial x},$$

$$u = U_0 x^m F(\xi, \eta), \quad f_\eta(\xi, \eta) = F(\xi, \eta),$$

$$v = -2^{-1}(\nu U_0)^{1/2} x^{(m-1)/2} [(m+1)(f + \xi f_\xi) + (m-1)\eta F],$$

$$T - T_\infty = (T_w - T_\infty)G(\xi, \eta), \quad C - C_\infty = (C_w - C_\infty)H(\xi, \eta)$$

уравнение (1) выполняется тождественно, а уравнения (2) принимают следующий вид:

$$F_{\eta\eta} + \frac{m+1}{2} f F_{\eta} + m(\varepsilon^2 - F^2) + \lambda(G + NH) = \frac{m+1}{2} \xi(F F_{\xi} - F_{\eta} f_{\xi}); \quad (3)$$

$$G_{\eta\eta} + \text{Pr} \frac{m+1}{2} f G_{\eta} - n \text{Pr} F G + \text{Pr} \xi^2 S G = \text{Pr} \frac{m+1}{2} \xi(F G_{\xi} - G_{\eta} f_{\xi}); \quad (4)$$

$$H_{\eta\eta} + \text{Sc} \frac{m+1}{2} f H_{\eta} - n \text{Sc} F H - \text{Sc} \xi^2 \Delta H = \text{Sc} \frac{m+1}{2} \xi(F H_{\xi} - H_{\eta} f_{\xi}). \quad (5)$$

Здесь

$$\begin{aligned} \lambda &= \frac{\text{Gr}}{\text{Re}_x^2}, & \text{Gr} &= \frac{g\beta(T_w - T_{\infty})x^3}{\nu^2}, \\ \text{Re}_x &= \frac{U_0 x^{m+1}}{\nu}, & N &= \frac{\lambda^*}{\lambda}, & \lambda^* &= \frac{\text{Gr}^*}{\text{Re}_x^2}, & \text{Gr}^* &= \frac{g\beta^*(C_w - C_{\infty})x^3}{\nu^2}, \\ \text{Pr} &= \frac{\nu}{\alpha}, & \text{Sc} &= \frac{\nu}{D}, & S &= \frac{Q_0 \nu}{U^2 \rho c_p}, & \Delta &= \frac{k_1 \nu}{U^2}, \end{aligned}$$

$\xi, \eta$  — новые переменные;  $\alpha$  — температуропроводность;  $\Delta$  — параметр химической реакции;  $D$  — коэффициент диффузии;  $f$  — безразмерная функция тока вдоль оси  $x$ ;  $G$  — безразмерная температура;  $H$  — безразмерная концентрация;  $S$  — параметр выделения (поглощения) тепла;  $\text{Re}_x$  — локальное число Рейнольдса;  $N$  — отношение сил плавучести, или отношение чисел Грасгофа;  $\lambda, \lambda^*$  — параметры плавучести, соответствующие температуре и концентрации;  $\text{Gr}, \text{Gr}^*$  — локальные числа Грасгофа, соответствующие температуре и концентрации.

Параметр смешанной конвекции (плавучести)  $\lambda > 0$  ( $T_w > T_{\infty}$ ) соответствует “способствующему” потоку,  $\lambda < 0$  ( $T_w < T_{\infty}$ ) — “препятствующему” потоку,  $\lambda = 0$  ( $T_w = T_{\infty}$ ) — случаю вынужденного потока. Безразмерный параметр  $N$  представляет собой соотношение между температурными и концентрационными силами плавучести ( $N = 0$  в отсутствие плавучести, обусловленной массовой диффузией,  $N = \infty$  в отсутствие плавучести, обусловленной тепловой диффузией,  $N = 1$  в случае, когда температурные и концентрационные силы плавучести равны,  $N > 0$  в случае одинаково направленных сил плавучести,  $N < 0$  в случае противоположно направленных сил плавучести). Параметр  $S > 0$  в случае выделения тепла,  $S < 0$  в случае поглощения тепла,  $S = 0$  в случае отсутствия источника тепла. Параметр химической реакции  $\Delta > 0$  в случае выделения частиц,  $\Delta < 0$  в случае поглощения частиц,  $\Delta = 0$  в случае отсутствия химической реакции.

Граничные условия принимают вид

$$\begin{aligned} \eta = 0: & \quad F = 1 - \varepsilon, \quad G = 1, \quad H = 1, \\ \eta = \eta_{\infty}: & \quad F = \varepsilon, \quad G = 0, \quad H = 0, \end{aligned} \quad (6)$$

где  $\eta_{\infty}$  — граница пограничного слоя;  $\varepsilon$  — константа, соответствующая отношению скорости набегающего потока к составной скорости:

$$\varepsilon = \frac{U_{\infty}(x)}{U(x)} = \frac{U_{\infty 0}}{U_{w0} + U_{\infty 0}}.$$

Преобразование подобия составной скорости  $U(x)$  впервые использовано в работе [11].

Постановка задачи включает следующие частные случаи.

1. При  $\varepsilon = 1$ , т. е.  $U_w = 0$  (классическая задача Блазиуса обтекания плоской пластины), пластина находится в состоянии покоя, а жидкость движется.

2. При  $\varepsilon = 0$ , т. е.  $U_\infty = 0$ , жидкость вне пограничного слоя находится в состоянии покоя, а движение в нем создается движением пластины. Этот случай рассмотрен в работе [6], уравнения для растягиваемой пластины предложены в [14].

3. При  $0 < \varepsilon < 1$ , т. е.  $U_w > 0$  и  $U_\infty > 0$ , пластина и жидкость движутся в одном и том же направлении.

Предполагается, что скорость растягиваемой пластины  $U_w(x)$  и скорость свободного потока  $U_\infty(x)$  сонаправлены и  $\varepsilon = 0,5$ .

Из граничных условий следует

$$f = \int_0^\eta F d\eta + f_w,$$

где функция  $f_w$  определяется из уравнения

$$(m+1)f_w + 2(U_0/\nu)^{m/(m+1)}\xi^{2m/(m+1)}(f_\xi)_w = -(m+1)(v_w/U_0)\xi$$

и выражение для нее имеет вид

$$f_w = -\frac{2}{(m+1)U_0} \left(\frac{U_0}{\nu}\right)^{m/(m+1)} \int_0^\xi v_w \xi^{(1-m)/(1+m)} d\xi,$$

$v_w$  — скорость массообмена на поверхности (значения  $v_w < 0$  соответствуют отсосу,  $v_w > 0$  — вдуву,  $v_w = 0$  — отсутствию вдува и отсоса). В данной работе исследуется неравномерный вдув (отсос) через одно или два щелевых отверстия в смешанно-конвекционном потоке в пограничном слое, обтекающем вертикально растягиваемую пластину.

**2. Случай вдува (отсоса) через одно щелевое отверстие.** В случае одного отверстия скорость вдува (отсоса) задается следующим образом:

$$v_w = \begin{cases} 0, & \xi \leq \xi_0, \\ -U_0 \frac{m+1}{2} \left(\frac{\nu}{U_0}\right)^{m/(m+1)} A \xi^{-1} \omega^* \sin[\omega^*(\xi - \xi_0)], & \xi_0 \leq \xi \leq \xi_0^*, \\ 0, & \xi \geq \xi_0^*. \end{cases}$$

Тогда функция  $f_w$  принимает вид

$$f_w = \begin{cases} 0, & \xi \leq \xi_0, \\ A \xi^{-1} \{1 - \cos[\omega^*(\xi - \xi_0)]\}, & \xi_0 \leq \xi \leq \xi_0^*, \\ A \xi^{-1} \{1 - \cos[\omega^*(\xi_0^* - \xi_0)]\}, & \xi \geq \xi_0^*. \end{cases}$$

Здесь  $\omega^*$ ,  $\xi_0$  — свободные параметры, определяющие длину и положение отверстий соответственно. Функция  $v_w$  непрерывна при любых значениях  $\xi$  и имеет ненулевые значения только в интервале  $[\xi_0, \xi_0^*]$ .

**3. Случай вдува (отсоса) через два щелевых отверстия.** В случае двух отверстий функция  $v_w$  выбирается в виде

$$v_w = \begin{cases} 0, & \xi \leq \xi_1, \\ -U_0 \frac{m+1}{2} \left(\frac{\nu}{U_0}\right)^{m/(m+1)} A \xi^{-1} \omega^* \sin[\omega^*(\xi - \xi_1)], & \xi_1 \leq \xi \leq \xi_1^*, \\ 0, & \xi_1^* \leq \xi \leq \xi_2, \\ -U_0 \frac{m+1}{2} \left(\frac{\nu}{U_0}\right)^{m/(m+1)} A \xi^{-1} \omega^* \sin[\omega^*(\xi - \xi_2)], & \xi_2 \leq \xi \leq \xi_2^*, \\ 0, & \xi \geq \xi_2^*. \end{cases}$$

Используя  $v_w$ , можно выразить  $f_w$  следующим образом:

$$f_w = \begin{cases} 0, & \xi \leq \xi_1, \\ A\xi^{-1}\{1 - \cos[\omega^*(\xi - \xi_1)]\}, & \xi_1 \leq \xi \leq \xi_1^*, \\ A\xi^{-1}\{1 - \cos[\omega^*(\xi_1^* - \xi_1)]\}, & \xi_1^* \leq \xi \leq \xi_2, \\ A\xi^{-1}\{1 - \cos[\omega^*(\xi_1^* - \xi_1)]\} + A\xi^{-1}\{1 - \cos[\omega^*(\xi - \xi_2)]\}, & \xi_2 \leq \xi \leq \xi_2^*, \\ A\xi^{-1}\{1 - \cos[\omega^*(\xi_1^* - \xi_1)]\} + A\xi^{-1}\{1 - \cos[\omega^*(\xi_2^* - \xi_2)]\}, & \xi \geq \xi_2^*. \end{cases}$$

Здесь  $\xi_1, \xi_2$  — параметры, определяющие левую границу первого и второго отверстий соответственно. Таким образом, непрерывная функция  $v_w$  имеет ненулевое значение только в интервалах  $[\xi_1, \xi_1^*]$  и  $[\xi_2, \xi_2^*]$ .

При исследовании тепло- и массообмена основными характеристиками являются локальный коэффициент поверхностного трения  $C_{fx}$ , локальное число Нуссельта  $\text{Nu}_x$  и локальное число Шервуда  $\text{Sh}_x$ , которые определяют касательные напряжения на стенке, скорость теплопереноса и скорость массообмена соответственно.

Выражение для локального коэффициента поверхностного трения на стенке записывается в виде

$$C_{fx} = \frac{2}{\rho U^2} \left[ \mu \frac{\partial u}{\partial y} \right]_{y=0},$$

или

$$C_{fx}(\text{Re}_x)^{1/2} = 2F_\eta(\xi, 0).$$

Коэффициент теплопереноса на стенке можно выразить через локальное число Нуссельта:

$$\text{Nu}_x = -\frac{1}{T_w - T_\infty} \left[ x \frac{\partial T}{\partial y} \right]_{y=0},$$

или

$$\text{Nu}_x(\text{Re}_x)^{-1/2} = -G_\eta(\xi, 0),$$

а коэффициент массообмена на стенке — через локальное число Шервуда:

$$\text{Sh}_x = -\frac{1}{C_w - C_\infty} \left[ x \frac{\partial C}{\partial y} \right]_{y=0},$$

или

$$\text{Sh}_x(\text{Re}_x)^{-1/2} = -H_\eta(\xi, 0).$$

**4. Метод решения.** Связанные нелинейные дифференциальные уравнения (3)–(5) с граничными условиями (6) представляют собой двухточечную краевую задачу для дифференциальных уравнений с частными производными, которая решается численно с помощью неявной конечно-разностной схемы и метода квазилинеаризации [18, 20, 22, 23].

Используя метод квазилинеаризации, заменяем нелинейную систему дифференциальных уравнений в частных производных (3)–(5) на следующую линейную систему дифференциальных уравнений в частных производных:

$$\begin{aligned} F_{\eta\eta}^{i+1} + X_1^i F_\eta^{i+1} + X_2^i F^{i+1} + X_3^i G^{i+1} + X_4^i F_\xi^{i+1} + X_5^i H^{i+1} &= X_6^i, \\ G_{\eta\eta}^{i+1} + Y_1^i G_\eta^{i+1} + Y_2^i G^{i+1} + Y_3^i F^{i+1} + Y_4^i G_\xi^{i+1} &= Y_5^i, \\ H_{\eta\eta}^{i+1} + Z_1^i H_\eta^{i+1} + Z_2^i H^{i+1} + Z_3^i F^{i+1} + Z_4^i H_\xi^{i+1} &= Z_5^i. \end{aligned} \quad (7)$$

Функции с индексом  $i$  известны, а функции с индексом  $i + 1$  необходимо определить.

В результате квазилинеаризации граничные условия принимают вид

$$\begin{aligned} \eta = 0: \quad F^{i+1} &= 1 - \varepsilon, \quad G^{i+1} = 1, \quad H^{i+1} = 1, \\ \eta = \eta_\infty: \quad F^{i+1} &= \varepsilon, \quad G^{i+1} = 0, \quad H^{i+1} = 0. \end{aligned}$$

Коэффициенты в уравнениях (7) задаются следующим образом:

$$\begin{aligned} X_1^i &= f \frac{m+1}{2} + \frac{m+1}{2} \xi f_\xi, \quad X_2^i = -2mF - \frac{m+1}{2} \xi F_\xi, \quad X_3^i = \lambda, \\ X_4^i &= -\frac{m+1}{2} \xi F, \quad X_5^i = N\lambda, \quad X_6^i = -\frac{m+1}{2} \xi F F_\xi - m(\varepsilon^2 + F^2), \\ Y_1^i &= \text{Pr} \left( \frac{m+1}{2} f + \frac{m+1}{2} \xi f_\xi \right), \quad Y_2^i = \text{Pr}(S\xi^2 - nF), \quad Y_3^i = -\text{Pr} \left( \frac{m+1}{2} \xi G_\xi + nG \right), \\ Y_4^i &= -\text{Pr} \frac{m+1}{2} \xi F, \quad Y_5^i = -\text{Pr} \left( \frac{m+1}{2} \xi F G_\xi + nFG \right), \\ Z_1^i &= \text{Sc} \left( \frac{m+1}{2} f + \frac{m+1}{2} \xi f_\xi \right), \quad Z_2^i = -\text{Sc}(\Delta\xi^2 + nF), \quad Z_3^i = -\text{Sc} \left( \frac{m+1}{2} \xi H_\xi + nH \right), \\ Z_4^i &= -\text{Sc} \frac{m+1}{2} \xi F, \quad Z_5^i = -\text{Sc} \left( \frac{m+1}{2} \xi F H_\xi + nFH \right). \end{aligned}$$

Полученная с использованием конечно-разностной схемы система линейных алгебраических уравнений с блочной трехдиагональной матрицей решается с помощью алгоритма Варги [24].

Выбраны размеры шагов по  $\xi$ - и  $\eta$ -направлениям  $\Delta\xi = 0,005$ ,  $\Delta\eta = 0,01$ . При решении системы уравнений используется следующий критерий сходимости:

$$\max \left\{ |(F_\eta)_w^{i+1} - (F_\eta)_w^i|, |(G_\eta)_w^{i+1} - (G_\eta)_w^i|, |(H_\eta)_w^{i+1} - (H_\eta)_w^i| \right\} < 10^{-5}.$$

**5. Результаты исследования и их обсуждение.** Расчеты проводились при следующих значениях параметров:  $0,7 \leq \text{Pr} \leq 100,0$ ;  $-0,5 \leq A \leq 1,0$ ;  $-0,5 \leq \lambda \leq 7,0$ ;  $-1,0 \leq S \leq 1,0$ ;  $-5,0 \leq \Delta \leq 3,0$ ;  $0,22 \leq \text{Sc} \leq 0,60$ ;  $0 \leq m \leq 1,0$ ;  $-2,0 \leq n \leq 2,0$ ;  $N = 0,5$ ;  $\varepsilon = 0,5$ . Во всех расчетах положение границы пограничного слоя выбирается в интервале  $4 \leq \eta_\infty \leq 8$  в зависимости от значений параметров. Для проверки точности расчетов, выполненных с использованием предлагаемого численного метода, проведено сравнение результатов вычисления параметра переноса тепла через поверхность  $-G_\eta(\xi, 0)$ , скорости  $F$  и температуры  $G$  с данными работ [2, 6–10, 15–17]. Следует отметить, что результаты, полученные в настоящей работе, хорошо согласуются с известными данными (табл. 1, 2 и рис. 1, 2). Из табл. 1 следует, что при увеличении числа Прандтля  $\text{Pr}$  параметр переноса тепла через поверхность  $-G_\eta(\xi, 0)$  значительно увеличивается, поскольку в жидкости с большим числом Прандтля формируется тепловой пограничный слой меньшей толщины. Из табл. 2 следует, что при увеличении степенного параметра температуры  $n$  температурный градиент увеличивается.

На рис. 1 представлены профили скорости  $F$ . Видно, что при увеличении параметра  $\varepsilon$  от 0 до 1 происходит изменение формы профиля скорости. На рис. 2 показано влияние степенного параметра температуры  $n$  на температуру  $G$ . Видно, что увеличение параметра  $n$  приводит к уменьшению толщины теплового пограничного слоя.

Влияние параметра плавучести  $\lambda$  и числа Прандтля  $\text{Pr}$  на скорость  $F$  и температуру  $G$  показано на рис. 3. Представлены случаи “способствующего” ( $\lambda > 0$ ) и “препятствующего” ( $\lambda < 0$ ) потоков. Видно, что для жидкости с малым числом Прандтля  $\text{Pr} = 0,7$  (воздух) при  $\lambda > 0$  скорость  $F$  вблизи пластины увеличивается. При  $\lambda > 0$  возникает благоприятный градиент давления, что приводит к увеличению скорости. При  $\lambda < 0$  возникает

Таблица 1

Значения  $-G_\eta(\xi, 0)$  при  $\lambda = 0, \xi = 0, \varepsilon = 0, m = 0, n = 0, N = 0, S = 0, \Delta = 0, Sc = 0, A = 0$  и различных значениях  $Pr$

Pr	$-G_\eta(\xi, 0)$							
	Данные [2]	Данные [6]	Данные [7]	Данные [9]	Данные [10]	Данные [16]	Данные [17]	Данные настоящей работы
0,7	0,3492	0,3508	0,349 25	0,3476	0,349 24	0,350 04	0,352 215	0,3542
1,0	0,4438	—	0,443 75	0,4416	—	0,444 01	0,444 428	0,4445
2,0	—	0,6831	0,683 24	—	—	0,683 14	0,683 024	0,6830
7,0	—	—	1,386 19	—	1,387 03	1,386 25	1,386 861	1,3869
10,0	1,6804	1,6808	1,680 08	1,6713	—	1,680 11	1,680 150	1,6802
100,0	5,5450	—	5,544 00	—	—	5,546 10	5,547 512	5,5475

Таблица 2

Значения скорости теплообмена  $-G_\eta(\xi, 0)$  при  $m = 1, \lambda = 0, \xi = 0, \varepsilon = 0, N = 0, S = 0, \Delta = 0, Sc = 0, A = 0$  и различных значениях  $Pr$  и  $n$

Pr	$-G_\eta(\xi, 0)$								
	Данные настоящей работы			Данные [7]			Данные [8]		
	$n = -2$	$n = 0$	$n = 2$	$n = -2$	$n = 0$	$n = 2$	$n = -2$	$n = 0$	$n = 2$
0,72	-0,7202	0,4637	1,0902	-0,720 00	0,463 15	1,088 53	-0,72	0,4631	1,0855
1,00	-0,9959	0,5821	1,3333	-1,000 03	0,581 99	1,333 34	-1,00	0,5820	1,3333
3,00	-2,9995	1,1654	2,5097	-3,000 46	1,165 23	2,509 72	-3,00	1,1652	2,5097
7,00	-7,0026	1,8955	3,9716	-7,002 40	1,895 37	3,971 50	—	—	—
10,00	-9,9963	2,3083	4,7969	-10,004 70	2,307 96	4,796 86	-10,00	2,3080	4,7969
100,00	-100,2990	7,7745	15,7124	-100,310 00	7,765 36	15,711 80	-100,00	7,7657	15,7120

неблагоприятный градиент давления, что приводит к уменьшению скорости потока. Влияние параметра  $\lambda$  на температуру является незначительным (см. рис. 3,б). Кроме того, из рис. 3,б следует, что при больших числах Прандтля толщина теплового пограничного слоя мала, поскольку жидкость с большим числом Прандтля  $Pr = 7,0$  (вода) имеет низкую теплопроводность.

На рис. 4 показано влияние параметра поверхностного массопереноса  $A$  и степенного параметра температуры  $n$  на температуру  $G$ . В случае вдува ( $A < 0$ ) угол наклона профиля температуры вблизи растягиваемой пластины уменьшается, а в случае отсоса ( $A > 0$ ) — увеличивается. При линейном законе изменения температуры на поверхности ( $n = 1$ ) толщина теплового пограничного слоя уменьшается, в то время как при постоянной температуре поверхности ( $n = 0$ ) — увеличивается.

Влияние параметра поверхностного массообмена  $A$  и степенного параметра скорости  $m$  на скорость  $F$  показано на рис. 5. Следует отметить, что в случае линейного растяжения поверхности ( $m = 1$ ) скорость увеличивается, а в случае равномерного движения ( $m = 0$ ) — уменьшается. Влияние параметра  $m$  на температуру  $G$  и концентрацию  $H$  является незначительным.

На рис. 6 показано влияние параметра химической реакции  $\Delta$  и числа Шмидта  $Sc$  на концентрацию  $H$ . При  $\Delta < 0$  толщина концентрационного пограничного слоя увеличивается, а при  $\Delta > 0$  — уменьшается. Значения числа Шмидта выбираются близкими к реальным и соответствуют водороду ( $Sc = 0,22$ ) и водяному пару ( $Sc = 0,60$ ) при  $T = 25^\circ C$



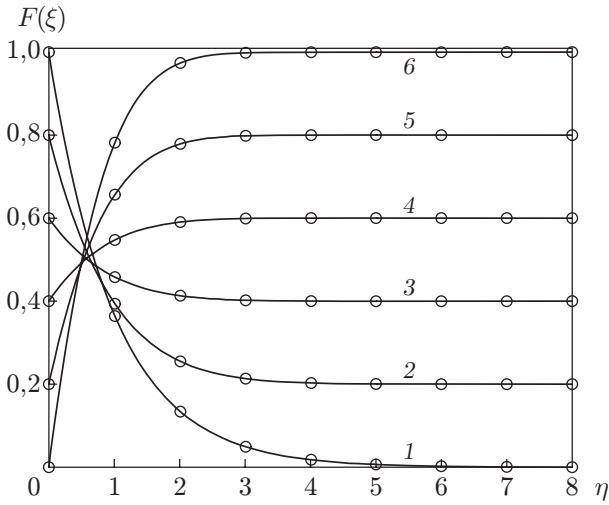


Рис. 1

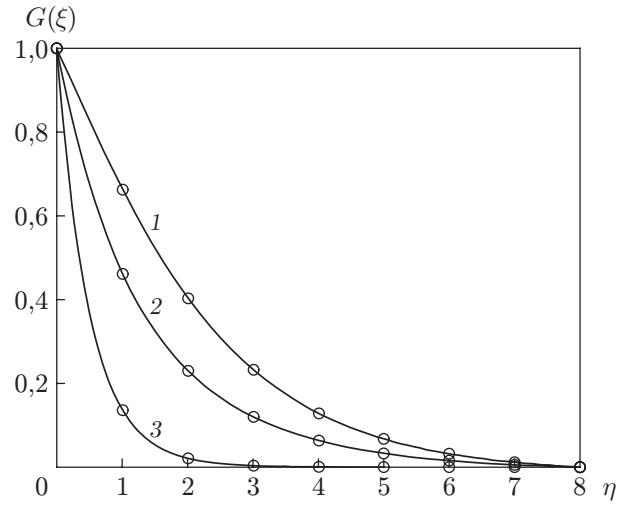


Рис. 2

Рис. 1. Зависимость скорости от координаты  $\eta$  при  $\lambda = 0, n = 1,0, \xi = 0, A = 0, m = 1,0, N = 0, S = 0, Sc = 0, Pr = 0, \Delta = 0$  и различных значениях параметра  $\varepsilon$ :

линии — данные настоящей работы, точки — данные [15]; 1 —  $\varepsilon = 0, 2 — \varepsilon = 0,2, 3 — \varepsilon = 0,4, 4 — \varepsilon = 0,6, 5 — \varepsilon = 0,8, 6 — \varepsilon = 1,0$

Рис. 2. Зависимость температуры от координаты  $\eta$  при  $\lambda = 0, \varepsilon = 0, \xi = 0, A = 0, m = 0, N = 0, S = 0, Sc = 0, Pr = 0,7, \Delta = 0$  и различных значениях степенного параметра температуры  $n$ :

линии — данные настоящей работы, точки — данные [6]; 1 —  $n = 0, 2 — n = 1, 3 — n = 2$

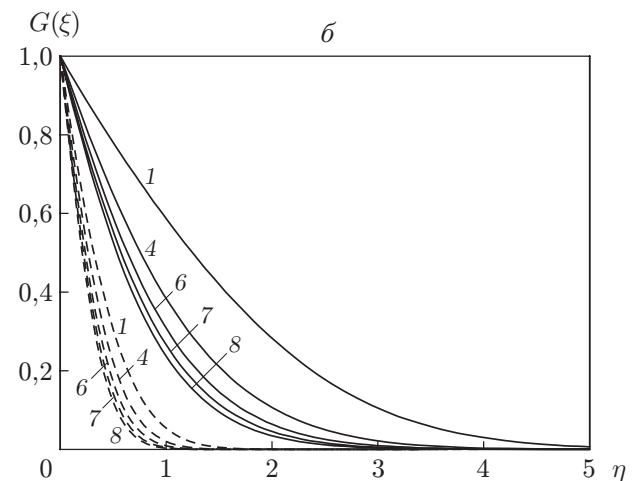
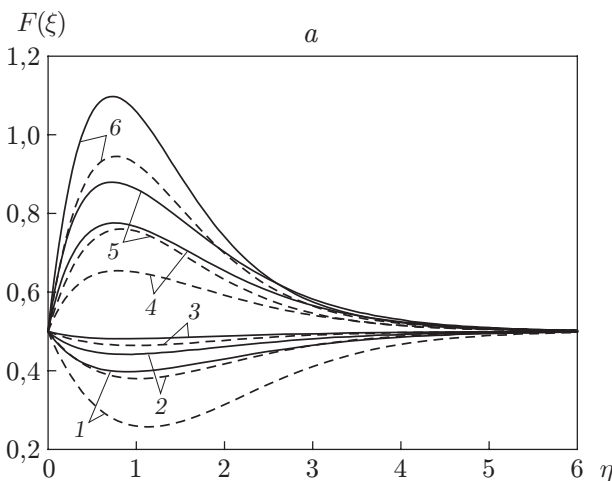


Рис. 3. Зависимости скорости (а) и температуры (б) от координаты  $\eta$  при  $\varepsilon = 0,5, \omega^* = 2\pi, S = 0,5, N = 0,5, m = 1,0, n = 1,0, A = 0,5, \Delta = 0,5, Sc = 0,22, \xi = 0,75$  и различных значениях параметра плавучести  $\lambda$  и числа Прандтля  $Pr$ : сплошные линии —  $Pr = 0,7$ , штриховые —  $Pr = 7,0$ ; 1 —  $\lambda = -0,5, 2 — \lambda = -0,3, 3 — \lambda = -0,1, 4 — \lambda = 1,0, 5 — \lambda = 2,0, 6 — \lambda = 3,0, 7 — \lambda = 5,0, 8 — \lambda = 7,0$

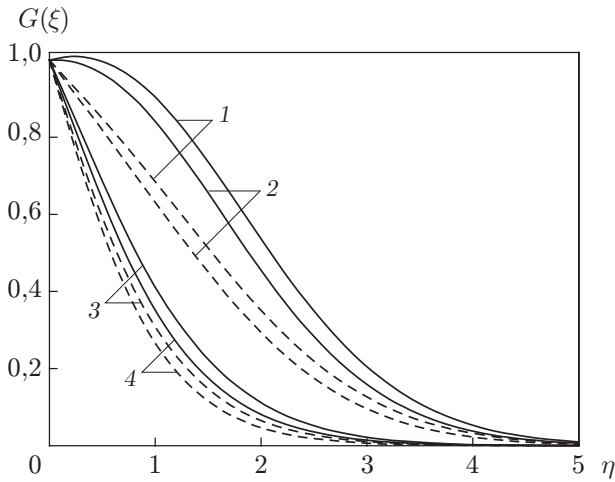


Рис. 4

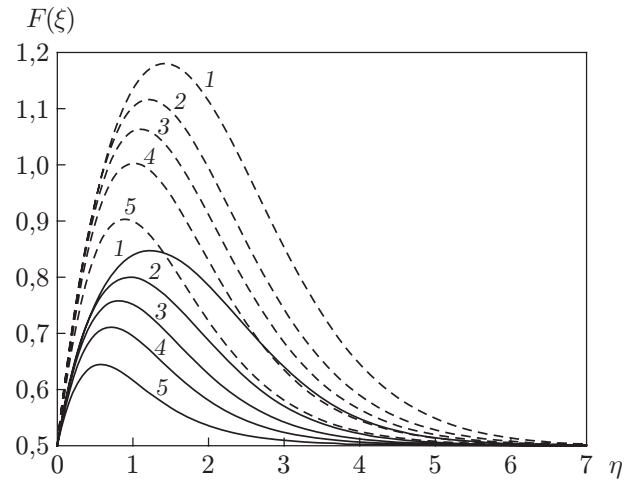


Рис. 5

Рис. 4. Зависимость температуры от координаты  $\eta$  при  $\varepsilon = 0,5$ ,  $S = 0,5$ ,  $N = 0,5$ ,  $m = 1,0$ ,  $\lambda = 1,0$ ,  $Pr = 0,7$ ,  $\Delta = 0,5$ ,  $Sc = 0,22$ ,  $\xi = 1,0$ ,  $\omega^* = 2\pi$  для отверстия, границы которого имеют координаты  $\xi_0 = 0,5$ ,  $\xi_0^* = 1,0$ :  
сплошные линии —  $n = 0$ , штриховые —  $n = 1$ ; 1 —  $A = -0,5$ , 2 —  $A = -0,4$ , 3 —  $A = 0$ , 4 —  $A = 0,3$

Рис. 5. Зависимость скорости от координаты  $\eta$  при  $\varepsilon = 0,5$ ,  $S = 0,5$ ,  $N = 0,5$ ,  $n = 1,0$ ,  $\lambda = 1,0$ ,  $Pr = 0,7$ ,  $\Delta = 1,0$ ,  $Sc = 0,22$ ,  $\xi = 1,0$ ,  $\omega^* = 2\pi$  для отверстия, границы которого имеют координаты  $\xi_0 = 0,5$ ,  $\xi_0^* = 1,0$ :  
сплошные линии —  $m = 0$ , штриховые —  $m = 1$ ; 1 —  $A = -0,5$ , 2 —  $A = -0,2$ , 3 —  $A = 0$ , 4 —  $A = 0,2$ , 5 —  $A = 0,5$

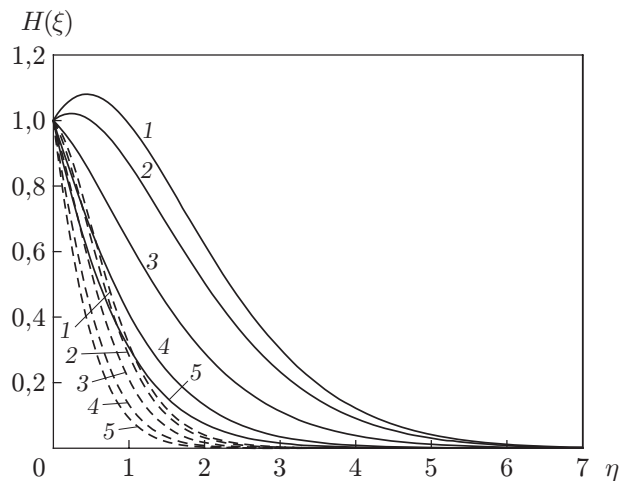


Рис. 6. Зависимость концентрации от координаты  $\eta$  при  $\varepsilon = 0,5$ ,  $\omega^* = 2\pi$ ,  $S = 0,5$ ,  $N = 0,5$ ,  $n = 1,0$ ,  $\lambda = 1,0$ ,  $Pr = 0,7$ ,  $m = 1,0$ ,  $A = 1,0$ ,  $\xi = 1,0$  и различных значениях числа Шмидта  $Sc$  и параметра химической реакции  $\Delta$ :  
сплошные линии —  $Sc = 0,22$ , штриховые —  $Sc = 0,60$ ; 1 —  $\Delta = -5,0$ , 2 —  $\Delta = -4,5$ , 3 —  $\Delta = -3,0$ , 4 —  $\Delta = 0$ , 5 —  $\Delta = 3,0$

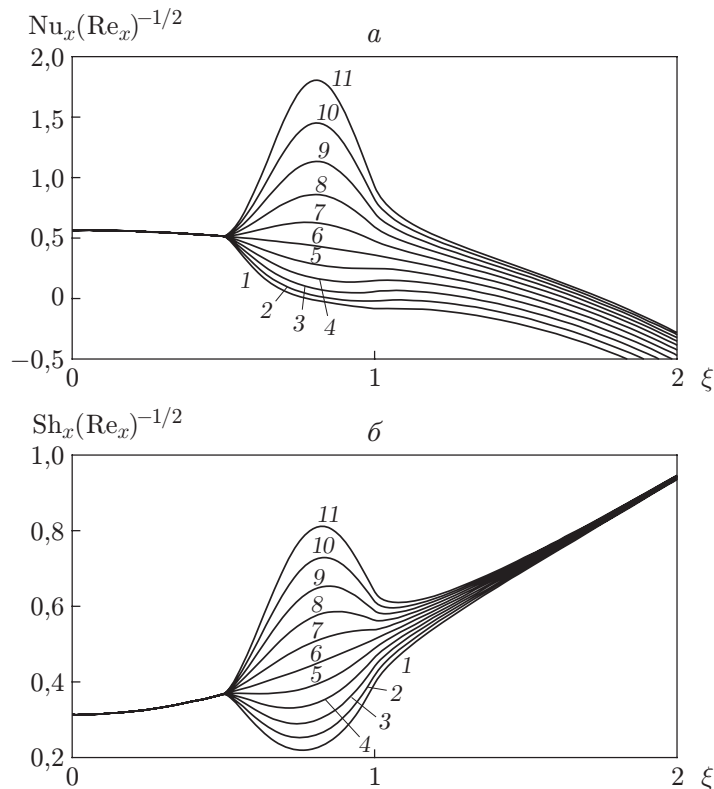


Рис. 7. Зависимости локальных чисел Нуссельта  $Nu_x(Re_x)^{-1/2}$  (а) и Шервуда  $Sh_x(Re_x)^{-1/2}$  (б) от координаты  $\xi$  при  $Pr = 0,7$ ,  $\lambda = 1,0$ ,  $S = 0,5$ ,  $N = 0,5$ ,  $m = 1,0$ ,  $n = 1,0$ ,  $\varepsilon = 0,5$ ,  $\Delta = 1,0$ ,  $Sc = 0,22$ ,  $\omega^* = 2\pi$  для отверстия, границы которого имеют координаты  $\xi_0 = 0,5$ ,  $\xi_0^* = 1,0$ :

1 —  $A = -0,5$ , 2 —  $A = -0,4$ , 3 —  $A = -0,3$ , 4 —  $A = -0,2$ , 5 —  $A = -0,1$ , 6 —  $A = 0$ , 7 —  $A = 0,1$ , 8 —  $A = 0,2$ , 9 —  $A = 0,3$ , 10 —  $A = 0,4$ , 11 —  $A = 0,5$

и давлении  $p = 10^5$  Па. Очевидно, что увеличение числа Шмидта  $Sc$  приводит к уменьшению толщины концентрационного пограничного слоя. Это обусловлено тем, что бóльшие значения  $Sc$  соответствуют меньшей массовой диффузии. Влияние  $Sc$  на скорость  $F$  и температуру  $G$  является незначительным, поскольку этот параметр содержится только в уравнении концентрации.

На рис. 7 показано влияние неоднородного отсоса ( $A > 0$ ) и вдува ( $A < 0$ ) через одно щелевое отверстие, начало которого находится в точке  $\xi_0 = 0,5$ , на локальные числа Нуссельта  $Nu_x(Re_x)^{-1/2}$  и Шервуда  $Sh_x(Re_x)^{-1/2}$ . В случае неравномерного отсоса через щелевое отверстие ( $A > 0$ ) локальные числа Нуссельта и Шервуда постепенно увеличиваются, достигая максимума, а затем уменьшаются. В случае неравномерного вдува через щелевое отверстие локальные числа Нуссельта и Шервуда уменьшаются в области щели.

На рис. 8 показано влияние параметра плавучести  $\lambda$  и степенного параметра температуры  $n$  на локальный коэффициент поверхностного трения  $C_{fx}(Re_x)^{1/2}$ . Видно, что с увеличением параметра плавучести локальный коэффициент поверхностного трения увеличивается. Это обусловлено тем, что наличие сил плавучести при  $\lambda > 0$  приводит к возникновению благоприятного градиента давления и увеличению скорости потока. В результате уменьшается толщина импульсного пограничного слоя и, следовательно, увеличивается коэффициент поверхностного трения на стенке. В частности, при  $\lambda = 1$  и  $\xi = 0,7$  коэффициент поверхностного трения увеличивается приблизительно на 19 %.

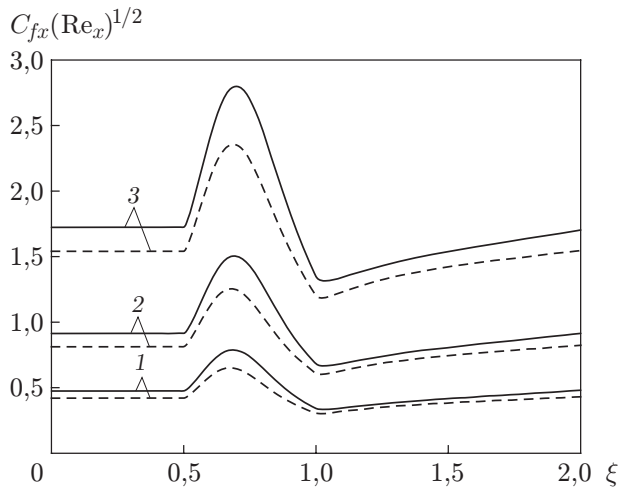


Рис. 8

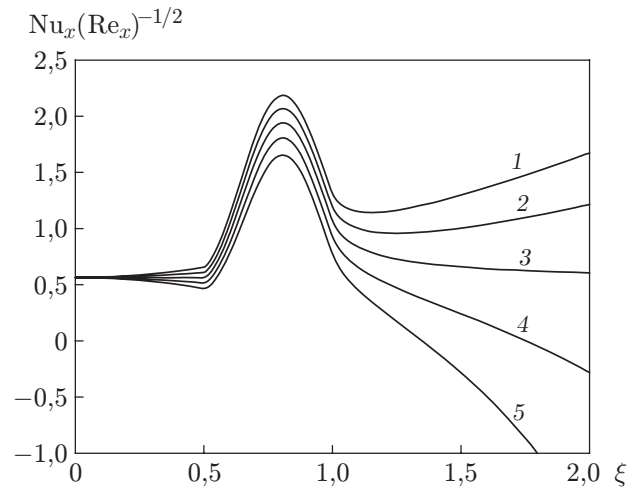


Рис. 9

Рис. 8. Зависимость локального коэффициента поверхностного трения  $C_{fx}(Re_x)^{1/2}$  от координаты  $\xi$  при  $Pr = 0,7$ ,  $A = 0,5$ ,  $S = 0,5$ ,  $N = 0,5$ ,  $m = 1,0$ ,  $\varepsilon = 0,5$ ,  $\Delta = 1,0$ ,  $Sc = 0,22$ ,  $\omega^* = 2\pi$  для отверстия, границы которого имеют координаты  $\xi_0 = 0,5$ ,  $\xi_0^* = 1,0$ :

сплошные линии —  $n = 0$ , штриховые —  $n = 1$ ; 1 —  $\lambda = 0,25$ , 2 —  $\lambda = 0,5$ , 3 —  $\lambda = 1,0$

Рис. 9. Зависимость локального числа Нуссельта  $Nu_x(Re_x)^{-1/2}$  от координаты  $\xi$  при  $\lambda = 1,0$ ,  $A = 0,5$ ,  $\Delta = 1,0$ ,  $N = 0,5$ ,  $m = 1,0$ ,  $n = 1,0$ ,  $\varepsilon = 0,5$ ,  $Pr = 0,7$ ,  $Sc = 0,22$ ,  $\omega^* = 2\pi$  для отверстия, границы которого имеют координаты  $\xi_0 = 0,5$ ,  $\xi_0^* = 1,0$ :

1 —  $S = -1,0$ , 2 —  $S = -0,5$ , 3 —  $S = 0$ , 4 —  $S = 0,5$ , 5 —  $S = 1,0$

На рис. 9 показано влияние параметра выделения и поглощения тепла  $S$  на локальное число Нуссельта  $Nu_x(Re_x)^{-1/2}$ . Видно, что при выделении тепла ( $S > 0$ ) локальное число Нуссельта уменьшается, а при поглощении тепла ( $S < 0$ ) — увеличивается. Это обусловлено тем, что в случае выделения тепла ( $S > 0$ ) температура жидкости и толщина теплового пограничного слоя увеличиваются, соответственно скорость теплообмена уменьшается. При  $S = 0,5; 1,0$  скорость теплообмена становится отрицательной. В случае поглощения тепла ( $S < 0$ ) температура жидкости и толщина теплового пограничного слоя уменьшаются, следовательно, скорость теплообмена увеличивается.

На рис. 10 показано влияние неравномерного вдува (отсоса) через два щелевых отверстия на локальные числа Нуссельта  $Nu_x(Re_x)^{-1/2}$  и Шервуда  $Sh_x(Re_x)^{-1/2}$ . В случае отсоса через два щелевых отверстия локальные числа Нуссельта и Шервуда увеличиваются в окрестности первого и второго щелевых отверстий. При неравномерном вдуве через два щелевых отверстия эти параметры уменьшаются в окрестности отверстий.

**Заключение.** В работе проведено исследование задачи о стационарном смешанно-конвекционном потоке в пограничном слое на вертикально растягиваемой пластине при наличии химических реакций, выделения или поглощения тепла и неравномерного вдува (отсоса) через щелевое отверстие. Из результатов численных расчетов следует, что для жидкости с малым числом Прандтля ( $Pr = 0,7$ ) скорость вблизи границы пограничного слоя значительно больше, чем для жидкости с большим числом Прандтля. При увеличении параметра отсоса наблюдается уменьшение скорости потока. Также обнаружено, что в случае отсоса толщина пограничного слоя меньше, а касательные напряжения на стенке, скорости тепло- и массообмена значительно больше, чем в случае вдува. В частности,

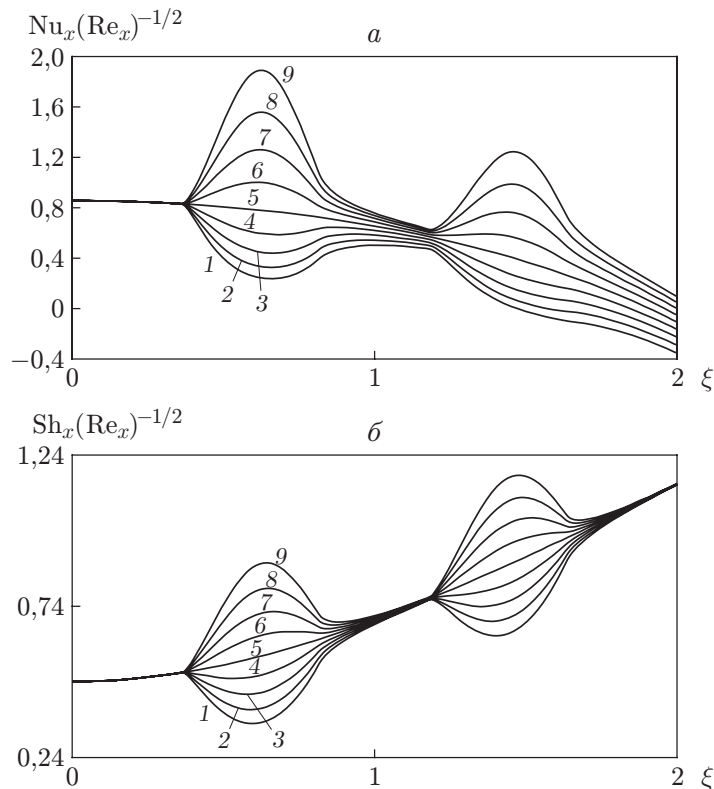


Рис. 10. Зависимости локальных чисел Нуссельта  $Nu_x(Re_x)^{-1/2}$  (а) и Шервуда  $Sh_x(Re_x)^{-1/2}$  (б) от координаты  $\xi$  при  $\lambda = 1,0$ ,  $Sc = 0,22$ ,  $n = 1,0$ ,  $S = 0,5$ ,  $N = 0,5$ ,  $m = 1,0$ ,  $\varepsilon = 0,5$ ,  $Pr = 0,7$ ,  $\Delta = 1,0$ ,  $\omega^* = 2\pi$  для двух щелевых отверстий, границы которых имеют координаты  $\xi_1 = 0,4$ ,  $\xi_1^* = 0,9$  и  $\xi_2 = 1,3$ ,  $\xi_2^* = 1,8$ :

1 —  $A = -0,4$ , 2 —  $A = -0,3$ , 3 —  $A = -0,2$ , 4 —  $A = -0,1$ , 5 —  $A = 0$ , 6 —  $A = 0,1$ ,  
7 —  $A = 0,2$ , 8 —  $A = 0,3$ , 9 —  $A = 0,4$

при увеличении значения параметра отсоса от 0 до 0,4 скорости тепло- и массообмена увеличиваются приблизительно на 15 и 30 % соответственно. Если параметр химической реакции  $\Delta < 0$ , то концентрация увеличивается, если  $\Delta > 0$ , то концентрация уменьшается. В случае выделения тепла ( $S > 0$ ) толщина теплового пограничного слоя увеличивается, а в случае поглощения тепла ( $S < 0$ ) температура жидкости и толщина теплового пограничного слоя уменьшаются.

## ЛИТЕРАТУРА

1. **Sakiadis B. C.** Boundary layer behavior on continuous solid surfaces. 2. The boundary layer on a continuous flat surface // *AIChE J.* 1961. V. 7, N 2. P. 221–225.
2. **Tsou F. K., Sparrow E. M., Goldstein R. J.** Flow and heat transfer in the boundary layer on a continuous moving surface // *Intern. J. Heat Mass Transfer.* 1967. V. 10, N 2. P. 219–235.
3. **Erickson L. E., Fan L. T., Fox V. G.** Heat and mass transfer on moving continuous flat plate with suction or injection // *Industr. Engng Chem. Fund.* 1966. V. 5, N 1. P. 19–25.
4. **Crane L. J.** Flows past a stretching plate // *Z. angew. Math. Phys.* 1970. Bd 21, N 4. S. 645–647.
5. **Gupta P. S., Gupta A. S.** Heat and mass transfer on a stretching sheet with suction or blowing // *Canad. J. Chem. Engng.* 1977. V. 55, N 6. P. 744–746.

6. **Soundalgekar V. M., Murty T. V. R.** Heat transfer in flow past a continuous moving plate with variable temperature // *Wärme- und Stoffübertrag.* 1980. Bd 14, N 2. S. 91–93.
7. **Chen C. H.** Heat transfer characteristics of a non isothermal surface moving parallel to a free stream // *Acta Mech.* 2000. V. 142, N 1–4. P. 195–205.
8. **Grubka L. T., Bobba K. M.** Heat transfer characteristics of a continuous stretching surface with variable temperature // *Trans. ASME. J. Heat Transfer.* 1985. V. 107. P. 248–250.
9. **Ali M. E.** Heat transfer characteristics of a continuous stretching surface // *Wärme- und Stoffübertrag.* 1994. Bd 29, N 4. S. 227–234.
10. **Moutsoglou A., Chen T. S.** Buoyancy effects in boundary layers on inclined, continuous, moving sheets // *Trans. ASME. J. Heat Transfer.* 1980. V. 102, N 1. P. 371–373.
11. **Abdelhafez T. A.** Skin friction and heat transfer on a continuous flat surface moving in a parallel free stream // *Intern. J. Heat Mass Transfer.* 1985. V. 28, N 6. P. 1234–1237.
12. **Chappidi P. R., Gunnerson F. S.** Analysis of heat and momentum transport along a moving surface // *Intern. J. Heat Mass Transfer.* 1989. V. 32, N 7. P. 1383–1386.
13. **Afzal N., Baderuddin A., Elgarvi A. A.** Momentum and heat transport on a continuous flat surface moving in a parallel stream // *Intern. J. Heat Mass Transfer.* 1993. V. 36, N 13. P. 3399–3403.
14. **Afzal N., Varshney I. S.** The cooling of a low heat resistance sheet moving through a fluid // *Wärme- und Stoffübertrag.* 1980. Bd 14, N 4. S. 289–293.
15. **Afzal N.** Momentum transfer on power law stretching plate with free stream pressure gradient // *Intern. J. Engng Sci.* 2003. V. 41, N 11. P. 1197–1207.
16. **Patil P. M., Roy S., Chamkha A. J.** Mixed convection flow over a vertical power law stretching sheet // *Intern. J. Numer. Methods Heat Fluid Flow.* 2010. V. 20, N 4. P. 445–458.
17. **Patil P. M.** Effects of surface mass transfer on steady mixed convection flow from vertical stretching sheet with variable wall temperature and concentration // *Intern. J. Numer. Methods Heat Fluid Flow.* 2012. V. 22, N 3. P. 287–305.
18. **Ravindran R., Ganapathirao M.** Non-uniform slot suction/injection into mixed convection boundary layer flow over vertical cone // *Appl. Math. Mech.* 2013. V. 34, N 11. P. 1327–1338.
19. **Ganapathirao M., Ravindran R., Pop I.** Non-uniform slot suction (injection) on an unsteady mixed convection flow over a wedge with chemical reaction and heat generation // *Intern. J. Heat Mass Transfer.* 2013. V. 67. P. 1054–1061.
20. **Ravindran R., Ganapathirao M., Pop I.** Effects of chemical reaction and heat generation/absorption on unsteady mixed convection MHD flow over a vertical cone with non-uniform slot mass transfer // *Intern. J. Heat Mass Transfer.* 2014. V. 73. P. 743–751.
21. **Schlichting H. S.** *Boundary layer theory* / H. S. Schlichting, K. Gersten. N. Y.: Springer, 2000.
22. **Inouye K., Tate A.** Finite difference version quasi-linearization applied to boundary layer equations // *AIAA J.* 1974. V. 12. P. 558–560.
23. **Ganapathirao M., Ravindran R., Momoniat M.** Effects of chemical reaction, heat and mass transfer on an unsteady mixed convection boundary layer flow over a wedge with heat generation/absorption in the presence of suction or injection // *Heat Mass Transfer.* 2014. V. 51, N 2. P. 289–300.
24. **Varga R. S.** *Matrix iterative analysis.* N. Y.: Springer, 2000.